

# ТЕСТОВЫЕ РАСЧЕТЫ ПЛОТНОСТИ РАДИАЦИОННЫХ ТЕПЛОВЫХ ПОТОКОВ К ПОВЕРХНОСТИ ГИПЕРЗВУКОВОГО АППАРАТА В ЛЕТНОМ ЭКСПЕРИМЕНТЕ FIRE-II В УСЛОВИЯХ БЛИЗКИХ К РАВНОВЕСНЫМ

С.Т. Суржиков

*Институт проблем механики им. А.Ю. Ишлинского Российской академии наук,  
Москва, 119526, проспект Вернадского 101-1*

## Аннотация

Представлены результаты расчетов спектральных и интегральных радиационных тепловых потоков к поверхности космического аппарата Fire-II для траекторных условий рекомендуемых рабочей группой Европейского космического агентства по излучению высокотемпературных газов. Обсуждаются проблемы проведения тестовых расчетов задач радиационной аэрофизики.

## TEST CALCULATION OF RADIATION HEATING OF FIRE-II SURFACE IN CONDITIONS CLOSE TO EQUILIBRIUM

Sergey T. Surzhikov

*Institute for problems in mechanics RAS, Russia, Moscow, 119526*

Numerical simulation results on spectral and integral heating of Fire-II surface for conditions recommended by Working group of European Space Agency on High Temperature Gas Radiation (HTGR) are presented. Current problems of test calculations in radiative aerophysics are discussed.

## 1. ВВЕДЕНИЕ

Расчет плотности радиационных тепловых потоков к поверхности гиперзвукового аппарата в летном эксперименте Fire-II является тестовой задачей #6 рабочей группы Европейского космического агентства (ЕКА) по излучению высокотемпературных газов. До настоящего времени результаты летного эксперимента Fire-II [1,2] остаются наиболее документированными данными по радиационно-конвективному теплообмену у поверхности космического аппарата при сверхорбитальном входе в плотные слои атмосферы Земли.

Указанные летные данные явились основой для проведения большого количества расчетно-теоретических исследований [3–16] в рамках которых отработывались вычислительные, физико-химические и радиационные модели процессов в неравновесном высокотемпературном излучающем сжатом слое у поверхности гиперзвукового экспериментального аппарата.

В работе [13] показаны значительные различия в расчетных данных не только радиационных, но и конвективных тепловых потоков, которые были получены в разных работах. В работе [15] показано, что одной из главных причин различия разных данных является использование различных моделей физико-химической кинетики. Важной причиной также является использование различной топологии расчетных сеток [20,21].

## 2. ПОСТАНОВКА ЗАДАЧИ

На теплонапряженном участке входа спускаемого аппарата (СА) Fire-II использовались три аэродинамических щита, конструкция которых показана на рис. 1

[1]. Первый щит (большого размера, радиус затупления  $R_n = 93.5$  см) использовался на первом, наиболее неравновесном участке траектории (в диапазоне высот  $H > 60$  км). Второй щит (радиус затупления  $R_n = 80.5$  см) использовался на участке максимального аэродинамического нагрева  $48 \text{ км} < H < 54 \text{ км}$ , а третий щит (радиус затупления  $R_n = 70.2$  см) – на завершающем этапе аэродинамического нагрева, когда газ в сжатом слое практически полностью термализован. Параметры траектории спускаемого аппарата в летном эксперименте Fire-II показаны на рис. 2, где для сравнения приведены траектории ряда других спускаемых космических аппаратов.

В качестве тестовой задачи #6 рабочей группы ЕКА по излучению высокотемпературных газов выбрана точка траектории на «равновесном» участке ( $t = 1645.5$  с) [11,13]. Рекомендуемые для использования в качестве теста распределения поступательной температуры, давления и числовых концентраций частиц смеси газов представлены в табл.1.

Условия полета в указанной точке даны в табл. 2. Также как и в тестовой задаче #3 [16], ее назначение состоит фактически только в тестировании спектральной оптической модели, используемой для расчета плотностей радиационных тепловых потоков и, отчасти, метода расчета переноса селективного теплового излучения. Тем не менее, проверка этой, радиационной, части задачи представляется весьма важной в кругу остальных элементов полной радиационно-газодинамической модели.

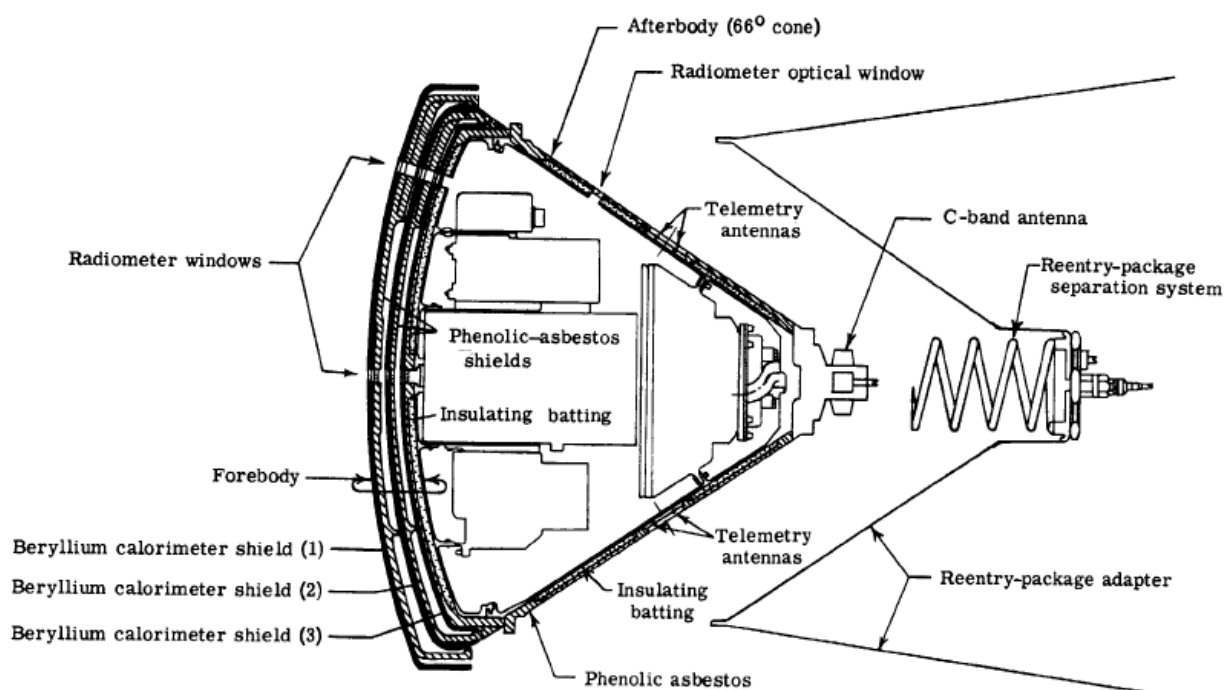


Рис. 1. Схема гиперзвукового аппарата летного эксперимента Fire-II из работы [1]

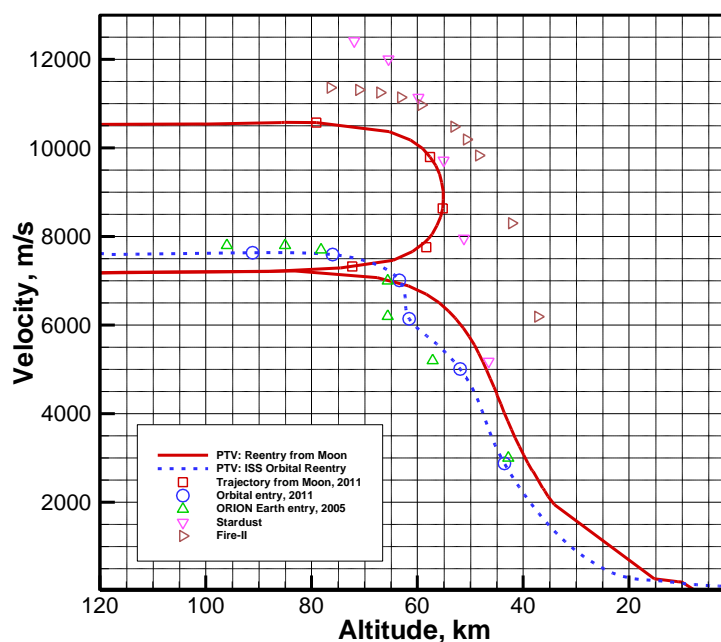


Рис. 2. Параметры траектории в летном эксперименте Fire-II и примеры траекторий входа в плотные слои атмосферы ряда других космических аппаратов. Сплошная кривая и квадраты – траектория возвращения с Луны гипотетического спускаемого аппарата [18], штриховая кривая и кружки – траектория орбитального входа [18], треугольники (дельта) – траектория орбитального входа СА Orion [17], треугольники (оператор набла) – траектория СА Stardust [19], правые треугольники – Fire-II

Таблица 1

Распределение температуры, давления и концентраций частиц вдоль критической линии тока ( $t=1648.5$  с)

x, m	T	Pressure, Pa	N <sub>2</sub>	O <sub>2</sub>	NO	NO <sup>+</sup>	O <sub>2</sub> <sup>+</sup>	N <sub>2</sub> <sup>+</sup>	N	O	N <sup>+</sup>	O <sup>+</sup>	e <sup>-</sup>
-0.23112E-03	0.54000E+03	0.20922E+06	0.20322E+20	0.32976E+19	0.85721E+18	0.28486E+14	0.35473E+11	0.16284E+06	0.68527E+13	0.35881E+19	0.18926E+07	0.23039E+12	0.28408E+08
-0.23400E-03	0.11737E+04	0.20922E+06	0.93493E+19	0.15171E+19	0.39438E+18	0.13106E+14	0.16320E+11	0.74919E+05	0.31527E+13	0.16508E+19	0.87072E+06	0.10600E+12	0.13069E+08
-0.24021E-03	0.16012E+04	0.20922E+06	0.68128E+19	0.10493E+19	0.28739E+18	0.11231E+14	0.19495E+11	0.10510E+07	0.76034E+13	0.13153E+19	0.14635E+08	0.15016E+12	0.11264E+08
-0.24735E-03	0.19692E+04	0.20922E+06	0.54970E+19	0.78779E+18	0.23190E+18	0.11345E+14	0.26783E+11	0.93470E+07	0.25838E+14	0.11790E+19	0.21961E+07	0.24415E+12	0.11477E+08
-0.25557E-03	0.23153E+04	0.20922E+06	0.46342E+19	0.60649E+18	0.19556E+18	0.12393E+14	0.36276E+11	0.55417E+08	0.83282E+14	0.11092E+19	0.14635E+08	0.39026E+12	0.12666E+08
-0.26503E-03	0.26542E+04	0.20922E+06	0.40025E+19	0.46750E+18	0.16905E+18	0.14237E+14	0.47540E+11	0.23974E+09	0.24799E+15	0.10706E+19	0.34475E+07	0.60260E+12	0.14709E+08
-0.27591E-03	0.29932E+04	0.20922E+06	0.35099E+19	0.35470E+18	0.14858E+18	0.17069E+14	0.60722E+11	0.81631E+09	0.69330E+15	0.10492E+19	0.92647E+06	0.89998E+12	0.17815E+08
-0.28844E-03	0.33363E+04	0.20922E+06	0.31101E+19	0.25995E+18	0.13211E+18	0.21420E+14	0.76711E+11	0.23156E+10	0.18391E+16	0.10384E+19	0.21726E+08	0.13037E+13	0.22529E+08
-0.30286E-03	0.36852E+04	0.20922E+06	0.27768E+19	0.17921E+18	0.11792E+18	0.28414E+14	0.97012E+11	0.56944E+10	0.46698E+16	0.10337E+19	0.16804E+09	0.18357E+13	0.29989E+08
-0.31945E-03	0.40393E+04	0.20922E+06	0.24942E+19	0.11155E+18	0.10369E+18	0.40358E+14	0.12227E+12	0.12586E+11	0.11435E+17	0.10309E+19	0.11092E+10	0.25182E+13	0.42497E+08
-0.33855E-03	0.43932E+04	0.20922E+06	0.22529E+19	0.58971E+17	0.86554E+17	0.61702E+14	0.14744E+12	0.26192E+11	0.26902E+17	0.10243E+19	0.61595E+10	0.33796E+13	0.64480E+08
-0.36053E-03	0.47296E+04	0.20922E+06	0.20473E+19	0.24640E+17	0.65534E+17	0.99337E+14	0.15763E+12	0.54921E+11	0.59140E+17	0.10075E+19	0.28230E+11	0.44809E+13	0.10281E+09
-0.38582E-03	0.50203E+04	0.20922E+06	0.18721E+19	0.80574E+16	0.44911E+17	0.15847E+15	0.14806E+12	0.12231E+12	0.11584E+18	0.97760E+18	0.10781E+12	0.59664E+13	0.16284E+09
-0.41493E-03	0.52535E+04	0.20922E+06	0.17175E+19	0.25232E+16	0.30468E+17	0.23464E+15	0.14508E+12	0.27817E+12	0.19582E+18	0.93815E+18	0.35420E+12	0.80947E+13	0.24060E+09
-0.44844E-03	0.54473E+04	0.20922E+06	0.15732E+19	0.10571E+16	0.22305E+17	0.31776E+15	0.16039E+12	0.59697E+12	0.28991E+18	0.89522E+18	0.10179E+13	0.11226E+14	0.32679E+09
-0.48700E-03	0.56212E+04	0.20922E+06	0.14343E+19	0.60280E+15	0.17543E+17	0.40208E+15	0.18473E+12	0.11761E+13	0.39076E+18	0.85239E+18	0.25912E+13	0.15828E+14	0.41681E+09
-0.53137E-03	0.57829E+04	0.20921E+06	0.12992E+19	0.39573E+15	0.14324E+17	0.48532E+15	0.21175E+12	0.21364E+13	0.49513E+18	0.81096E+18	0.59508E+13	0.22501E+14	0.50993E+09
-0.58244E-03	0.59351E+04	0.20921E+06	0.11680E+19	0.27598E+15	0.11886E+17	0.56545E+15	0.23892E+12	0.36134E+13	0.60133E+18	0.77129E+18	0.12546E+14	0.31973E+14	0.60646E+09
-0.64122E-03	0.60790E+04	0.20921E+06	0.10409E+19	0.19917E+15	0.99246E+16	0.64003E+15	0.26486E+12	0.57406E+13	0.70777E+18	0.73344E+18	0.24618E+14	0.45082E+14	0.70715E+09
-0.70887E-03	0.62164E+04	0.20921E+06	0.91858E+18	0.14718E+15	0.83011E+16	0.70636E+15	0.28876E+12	0.86275E+13	0.81253E+18	0.69743E+18	0.45421E+14	0.62727E+14	0.81355E+09
-0.78673E-03	0.63491E+04	0.20921E+06	0.80221E+18	0.11085E+15	0.69442E+16	0.76170E+15	0.31023E+12	0.12333E+14	0.91332E+18	0.66331E+18	0.79356E+14	0.85766E+14	0.92821E+09
-0.87633E-03	0.64785E+04	0.20921E+06	0.69325E+18	0.84916E+14	0.58090E+16	0.80343E+15	0.32894E+12	0.16826E+14	0.10077E+19	0.63125E+18	0.13183E+15	0.11484E+15	0.10545E+10
-0.97945E-03	0.66051E+04	0.20921E+06	0.59346E+18	0.66170E+14	0.48643E+16	0.82959E+15	0.34460E+12	0.21950E+14	0.10931E+19	0.60159E+18	0.20856E+15	0.15012E+15	0.11961E+10
-1.0981E-02	0.67292E+04	0.20921E+06	0.50461E+18	0.52565E+14	0.40903E+16	0.83991E+15	0.35755E+12	0.27446E+14	0.11672E+19	0.57462E+18	0.31434E+15	0.19079E+15	0.13564E+10
-1.12347E-02	0.68568E+04	0.20920E+06	0.42823E+18	0.42856E+14	0.34862E+16	0.83809E+15	0.37190E+12	0.33173E+14	0.12265E+19	0.55022E+18	0.45158E+15	0.23421E+15	0.15388E+10
-1.13919E-02	0.70121E+04	0.20921E+06	0.36700E+18	0.36622E+14	0.30981E+16	0.83814E+15	0.40470E+12	0.39615E+14	0.12619E+19	0.52741E+18	0.61180E+15	0.27299E+15	0.17418E+10
-1.15728E-02	0.70004E+04	0.20920E+06	0.34468E+18	0.33364E+14	0.28158E+16	0.81455E+15	0.37785E+12	0.39623E+14	0.12916E+19	0.52371E+18	0.67319E+15	0.29792E+15	0.18038E+10
-1.17810E-02	0.70049E+04	0.20919E+06	0.33168E+18	0.31753E+14	0.26790E+16	0.80313E+15	0.36824E+12	0.39928E+14	0.13062E+19	0.52079E+18	0.71279E+15	0.31316E+15	0.18470E+10
-1.20207E-02	0.70271E+04	0.20920E+06	0.31971E+18	0.30539E+14	0.25858E+16	0.79669E+15	0.36808E+12	0.40849E+14	0.13153E+19	0.51693E+18	0.75674E+15	0.32570E+15	0.18973E+10
-1.22965E-02	0.70495E+04	0.20919E+06	0.30894E+18	0.29490E+14	0.25056E+16	0.79079E+15	0.36876E+12	0.41759E+14	0.13227E+19	0.51326E+18	0.79984E+15	0.33707E+15	0.19462E+10
-1.26139E-02	0.70692E+04	0.20918E+06	0.29982E+18	0.28617E+14	0.24381E+16	0.78547E+15	0.36936E+12	0.42545E+14	0.13290E+19	0.51014E+18	0.83885E+15	0.34709E+15	0.19902E+10
-1.29791E-02	0.70859E+04	0.20917E+06	0.29233E+18	0.27910E+14	0.23832E+16	0.78087E+15	0.36993E+12	0.43202E+14	0.13339E+19	0.50752E+18	0.87264E+15	0.35554E+15	0.20280E+10
-1.33995E-02	0.70997E+04	0.20916E+06	0.28641E+18	0.27360E+14	0.23402E+16	0.77712E+15	0.37047E+12	0.43734E+14	0.13377E+19	0.50542E+18	0.90059E+15	0.36238E+15	0.20592E+10
-1.38834E-02	0.71104E+04	0.20915E+06	0.28193E+18	0.26947E+14	0.23079E+16	0.77420E+15	0.37094E+12	0.44143E+14	0.13405E+19	0.50380E+18	0.92248E+15	0.36762E+15	0.20835E+10
-1.44402E-02	0.71183E+04	0.20913E+06	0.27870E+18	0.26652E+14	0.22848E+16	0.77205E+15	0.37133E+12	0.44443E+14	0.13423E+19	0.50260E+18	0.93867E+15	0.37143E+15	0.21015E+10
-1.50811E-02	0.71239E+04	0.20910E+06	0.27649E+18	0.26451E+14	0.22691E+16	0.77053E+15	0.37161E+12	0.44687E+14	0.13435E+19	0.50175E+18	0.94983E+15	0.37400E+15	0.21137E+10
-1.58186E-02	0.71274E+04	0.20907E+06	0.27506E+18	0.26321E+14	0.22590E+16	0.76952E+15	0.37178E+12	0.44777E+14	0.13441E+19	0.50116E+18	0.95698E+15	0.37562E+15	0.21215E+10
-1.66675E-02	0.71296E+04	0.20903E+06	0.27419E+18	0.26240E+14	0.22527E+16	0.76882E+15	0.37184E+12	0.44848E+14	0.13443E+19	0.50076E+18	0.96111E+15	0.37653E+15	0.21259E+10
-1.76444E-02	0.71307E+04	0.20898E+06	0.27367E+18	0.26190E+14	0.22489E+16	0.76833E+15	0.37181E+12	0.44879E+14	0.13443E+19	0.50047E+18	0.96321E+15	0.37697E+15	0.21279E+10
-1.87687E-02	0.71329E+04	0.20890E+06	0.27336E+18	0.26158E+14	0.22465E+16	0.76790E+15	0.37168E+12	0.44881E+14	0.13439E+19	0.50021E+18	0.96395E+15	0.37707E+15	0.21284E+10
-1.10063E-01	0.71312E+04	0.20880E+06	0.27317E+18	0.26134E+14	0.22448E+16	0.76747E+15	0.37146E+12	0.44861E+14	0.13433E+19	0.49996E+18	0.96377E+15	0.37696E+15	0.21276E+10
-1.11552E-01	0.71310E+04	0.20866E+06	0.27301E+18	0.26110E+14	0.22431E+16	0.76694E+15	0.37112E+12	0.44821E+14	0.13425E+19	0.49965E+18	0.96294E+15	0.37666E+15	0.21259E+10
-1.13266E-01	0.71305E+04	0.20847E+06	0.27283E+18	0.26080E+14	0.22410E+16	0.76625E+15	0.37064E+12	0.44763E+14	0.13413E+19	0.49924E+18	0.96159E+15	0.37622E+15	0.21234E+10
-1.15238E-01	0.71298E+04	0.20821E+06	0.27259E+18	0.26041E+14	0.22383E+16	0.76528E+15	0.36996E+12	0.44679E+14	0.13396E+19	0.49867E+18	0.95962E+15	0.37558E+15	0.21198E+10

Продолжение Таблицы 1

x, m	T	Pressure, Pa	N <sub>2</sub>	O <sub>2</sub>	NO	NO <sup>+</sup>	O <sub>2</sub> <sup>+</sup>	N <sub>2</sub> <sup>+</sup>	N	O	N <sup>+</sup>	O <sup>+</sup>	e <sup>-</sup>
-0.17451E-01	0.71290E+04	0.20792E+06	0.27234E+18	0.25998E+14	0.22353E+16	0.76422E+15	0.36922E+12	0.44585E+14	0.13378E+19	0.49804E+18	0.95736E+15	0.37485E+15	0.21157E+10
-0.19613E-01	0.71281E+04	0.20757E+06	0.27205E+18	0.25949E+14	0.22319E+16	0.76299E+15	0.36837E+12	0.44476E+14	0.13356E+19	0.49731E+18	0.95472E+15	0.37399E+15	0.21109E+10
-0.21492E-01	0.71271E+04	0.20719E+06	0.27174E+18	0.25896E+14	0.22283E+16	0.76164E+15	0.36743E+12	0.44355E+14	0.13331E+19	0.49651E+18	0.95174E+15	0.37303E+15	0.21056E+10
-0.23125E-01	0.71261E+04	0.20681E+06	0.27144E+18	0.25843E+14	0.22247E+16	0.76026E+15	0.36647E+12	0.44231E+14	0.13306E+19	0.49569E+18	0.94863E+15	0.37207E+15	0.21001E+10
-0.24544E-01	0.71250E+04	0.20642E+06	0.27114E+18	0.25790E+14	0.22211E+16	0.75887E+15	0.36550E+12	0.44105E+14	0.13281E+19	0.49486E+18	0.94547E+15	0.37118E+15	0.20946E+10
-0.25776E-01	0.71239E+04	0.20603E+06	0.27084E+18	0.25737E+14	0.22174E+16	0.75741E+15	0.36448E+12	0.43975E+14	0.13256E+19	0.49404E+18	0.94223E+15	0.37054E+15	0.20892E+10
-0.26847E-01	0.71230E+04	0.20568E+06	0.27058E+18	0.25691E+14	0.22144E+16	0.75602E+15	0.36357E+12	0.43858E+14	0.13234E+19	0.49331E+18	0.93924E+15	0.37055E+15	0.20847E+10
-0.27778E-01	0.71219E+04	0.20533E+06	0.27033E+18	0.25645E+14	0.22112E+16	0.75439E+15	0.36251E+12	0.43726E+14	0.13211E+19	0.49258E+18	0.93595E+15	0.37166E+15	0.20808E+10
-0.28586E-01	0.71212E+04	0.20504E+06	0.27011E+18	0.25607E+14	0.22087E+16	0.75258E+15	0.36146E+12	0.43598E+14	0.13192E+19	0.49194E+18	0.93268E+15	0.37484E+15	0.20788E+10
-0.29289E-01	0.71205E+04	0.20474E+06	0.26990E+18	0.25568E+14	0.22062E+16	0.75011E+15	0.36007E+12	0.43438E+14	0.13172E+19	0.49131E+18	0.92871E+15	0.38117E+15	0.20786E+10
-0.29900E-01	0.71202E+04	0.20450E+06	0.26974E+18	0.25541E+14	0.22048E+16	0.74699E+15	0.35854E+12	0.43269E+14	0.13156E+19	0.49077E+18	0.92436E+15	0.39213E+15	0.20819E+10
-0.30430E-01	0.71206E+04	0.20425E+06	0.26957E+18	0.25517E+14	0.22040E+16	0.74272E+15	0.35667E+12	0.43066E+14	0.13137E+19	0.49017E+18	0.91905E+15	0.40908E+15	0.20889E+10
-0.30891E-01	0.71222E+04	0.20408E+06	0.26950E+18	0.25518E+14	0.22059E+16	0.73744E+15	0.35478E+12	0.42869E+14	0.13120E+19	0.48966E+18	0.91335E+15	0.43344E+15	0.21020E+10
-0.31320E-01	0.71264E+04	0.20385E+06	0.26936E+18	0.25531E+14	0.22105E+16	0.73065E+15	0.35303E+12	0.42690E+14	0.13094E+19	0.48885E+18	0.90724E+15	0.46598E+15	0.21212E+10
-0.31748E-01	0.71362E+04	0.20362E+06	0.26930E+18	0.25604E+14	0.22234E+16	0.72179E+15	0.35221E+12	0.42622E+14	0.13054E+19	0.48772E+18	0.90177E+15	0.51316E+15	0.21536E+10
-0.32177E-01	0.71593E+04	0.20333E+06	0.26922E+18	0.25799E+14	0.22544E+16	0.71065E+15	0.35491E+12	0.42936E+14	0.12979E+19	0.48559E+18	0.90071E+15	0.58032E+15	0.22082E+10
-0.32606E-01	0.72126E+04	0.20296E+06	0.26925E+18	0.26311E+14	0.23278E+16	0.69834E+15	0.36768E+12	0.44328E+14	0.12829E+19	0.48148E+18	0.91453E+15	0.67397E+15	0.23036E+10
-0.33035E-01	0.73370E+04	0.20232E+06	0.26930E+18	0.27659E+14	0.25001E+16	0.68854E+15	0.40894E+12	0.48658E+14	0.12505E+19	0.47266E+18	0.97029E+15	0.79941E+15	0.24773E+10
-0.33464E-01	0.76423E+04	0.20089E+06	0.26912E+18	0.32027E+14	0.29137E+16	0.69442E+15	0.54651E+12	0.61902E+14	0.11767E+19	0.45253E+18	0.11384E+16	0.95279E+15	0.28139E+10
-0.33892E-01	0.85104E+04	0.19455E+06	0.26429E+18	0.87991E+14	0.37697E+16	0.76249E+15	0.12463E+13	0.11108E+15	0.98580E+18	0.39844E+18	0.15472E+16	0.10729E+16	0.34530E+10
-0.34321E-01	0.11647E+05	0.12937E+06	0.19132E+18	0.23385E+16	0.28844E+16	0.74841E+15	0.82349E+13	0.28319E+15	0.40339E+18	0.20143E+18	0.14850E+16	0.69931E+15	0.31855E+10
-0.34750E-01	0.11470E+04	0.11606E+04	0.57181E+17	0.15120E+17	0.53681E+13	0.23371E+13	0.94258E+12	0.83251E+12	0.64921E+15	0.32499E+15	0.37057E+13	0.22142E+13	0.99118E+05
-0.35179E-01	0.25991E+03	0.25490E+03	0.56118E+17	0.14917E+17	0.25250E+11	0.22609E+11	0.26253E+11	0.74811E+10	0.30699E+13	0.15289E+13	0.16900E+11	0.20645E+11	0.92763E+05
-0.35608E-01	0.25720E+03	0.25223E+03	0.56117E+17	0.14917E+17	0.73516E+08	0.12992E+09	0.21237E+09	0.38796E+08	0.81843E+10	0.40555E+10	0.42879E+08	0.11848E+09	0.53595E+03
-0.36036E-01	0.25906E+03	0.25407E+03	0.56122E+17	0.14918E+17	0.70057E+07	0.94100E+07	0.29072E+08	0.11731E+07	0.51702E+08	0.25236E+08	0.10948E+06	0.10826E+08	0.49985E+02
-0.36465E-01	0.26000E+03	0.25500E+03	0.56124E+17	0.14919E+17	0.68304E+07	0.87467E+07	0.27928E+08	0.10227E+07	0.30100E+08	0.14572E+08	0.28138E+03	0.10306E+08	0.47428E+02
-0.36894E-01	0.26000E+03	0.25500E+03	0.56124E+17	0.14919E+17	0.68299E+07	0.87200E+07	0.27860E+08	0.10633E+07	0.30019E+08	0.14524E+08	0.72616E+00	0.10346E+08	0.47414E+02
-0.37323E-01	0.26000E+03	0.25500E+03	0.56124E+17	0.14919E+17	0.68299E+07	0.86966E+07	0.27797E+08	0.11065E+07	0.29996E+08	0.14503E+08	0.64808E-02	0.10390E+08	0.47414E+02
-0.37752E-01	0.26000E+03	0.25500E+03	0.56124E+17	0.14919E+17	0.68299E+07	0.86731E+07	0.27731E+08	0.11514E+07	0.29972E+08	0.14483E+08	0.94698E-02	0.10434E+08	0.47414E+02
-0.38395E-01	0.26000E+03	0.25500E+03	0.56124E+17	0.14919E+17	0.68299E+07	0.86495E+07	0.27664E+08	0.11983E+07	0.29949E+08	0.14462E+08	0.19440E-01	0.10478E+08	0.47414E+02
-0.39252E-01	0.26000E+03	0.25500E+03	0.56124E+17	0.14919E+17	0.68299E+07	0.86022E+07	0.27526E+08	0.12955E+07	0.29901E+08	0.14421E+08	0.60405E-01	0.10566E+08	0.47414E+02
-0.40539E-01	0.26000E+03	0.25500E+03	0.56124E+17	0.14919E+17	0.68299E+07	0.85545E+07	0.27379E+08	0.14008E+07	0.29853E+08	0.14380E+08	0.18791E+00	0.10655E+08	0.47414E+02
-0.42254E-01	0.26000E+03	0.25500E+03	0.56124E+17	0.14919E+17	0.68299E+07	0.84584E+07	0.27068E+08	0.16279E+07	0.29757E+08	0.14296E+08	0.98017E+00	0.10835E+08	0.47414E+02
-0.43969E-01	0.26000E+03	0.25500E+03	0.56124E+17	0.14919E+17	0.68299E+07	0.83607E+07	0.26720E+08	0.18919E+07	0.29660E+08	0.14211E+08	0.51131E+01	0.11017E+08	0.47414E+02
-0.45685E-01	0.26000E+03	0.25500E+03	0.56124E+17	0.14919E+17	0.68299E+07	0.82614E+07	0.26326E+08	0.21987E+07	0.29560E+08	0.14125E+08	0.26673E+02	0.11203E+08	0.47414E+02
-0.47400E-01	0.26000E+03	0.25500E+03	0.56124E+17	0.14919E+17	0.68299E+07	0.81604E+07	0.25882E+08	0.25553E+07	0.29459E+08	0.14037E+08	0.13915E+03	0.11392E+08	0.47414E+02
-0.49115E-01	0.26000E+03	0.25500E+03	0.56124E+17	0.14919E+17	0.68299E+07	0.80576E+07	0.25378E+08	0.29697E+07	0.29356E+08	0.13948E+08	0.72592E+03	0.11584E+08	0.47414E+02
-0.50830E-01	0.26000E+03	0.25500E+03	0.56124E+17	0.14919E+17	0.68299E+07	0.79530E+07	0.24802E+08	0.34513E+07	0.29248E+08	0.13857E+08	0.37870E+04	0.11779E+08	0.47414E+02
-0.52545E-01	0.26000E+03	0.25500E+03	0.56124E+17	0.14919E+17	0.68299E+07	0.78462E+07	0.24135E+08	0.40111E+07	0.29127E+08	0.13764E+08	0.19756E+05	0.11978E+08	0.47414E+02
-0.54261E-01	0.26000E+03	0.25500E+03	0.56124E+17	0.14919E+17	0.68299E+07	0.77349E+07	0.23311E+08	0.46616E+07	0.28939E+08	0.13667E+08	0.10307E+06	0.12179E+08	0.47415E+02
-0.55976E-01	0.26000E+03	0.25500E+03	0.56124E+17	0.14919E+17	0.68299E+07	0.76080E+07	0.22042E+08	0.54176E+07	0.28411E+08	0.13555E+08	0.53770E+06	0.12385E+08	0.47415E+02
-0.57691E-01	0.26000E+03	0.25500E+03	0.56124E+17	0.14919E+17	0.68298E+07	0.74073E+07	0.18888E+08	0.62962E+07	0.26120E+08	0.13369E+08	0.28052E+07	0.12593E+08	0.47415E+02
-0.59406E-01	0.26000E+03	0.25500E+03	0.56124E+17	0.14919E+17	0.68295E+07	0.68295E+07	0.64027E+07	0.73174E+07	0.14635E+08	0.12805E+08	0.14635E+08	0.12805E+08	0.47415E+02

Таблица 2

Параметры траектории Fire-II в трех точках. Результаты расчетов плотностей радиационных тепловых потоков в критической точке

$t, c$	1634	1643	1648
$R_n, cm$	93.5	80.5	70.2
$\rho_\infty \cdot 10^{+7}, g/cm^3$	0.372	7.80	30.0
$p_\infty, \text{эрг}/cm^3$	20.8	617.9	2298.9
$T_\infty, K$	195	276	267
$T_w, K$	615	640	1560
$V_\infty, km/c$	11.36	10.48	8.3
[8]: $\alpha W_r, \text{Вт}/cm^2$	~18	357	52.1
[9]: $W_r(UC), \text{Вт}/cm^2$	31.3	720	
[9]: $W_r(C), \text{Вт}/cm^2$	27.2	540	43.1
[9]: $\alpha W_r(C), \text{Вт}/cm^2$	19.7	344	24.6
Данная работа $W_r(C), \text{Вт}/cm^2$ Исходные данные Табл.1			40
[14]: $W_r(C), \text{Вт}/cm^2$			40
Данная работа $\alpha W_r(C), \text{Вт}/cm^2$ Исходные данные Табл.1			22.8
[14]: $\alpha W_r(C), \text{Вт}/cm^2$			22.8

### 3. РЕЗУЛЬТАТЫ ЧИСЛЕННОГО МОДЕЛИРОВАНИЯ

Распределения поступательной температуры и числовых концентраций вдоль критической линии тока, построенные по данным табл. 1, приведены на рис. 3 и 4.

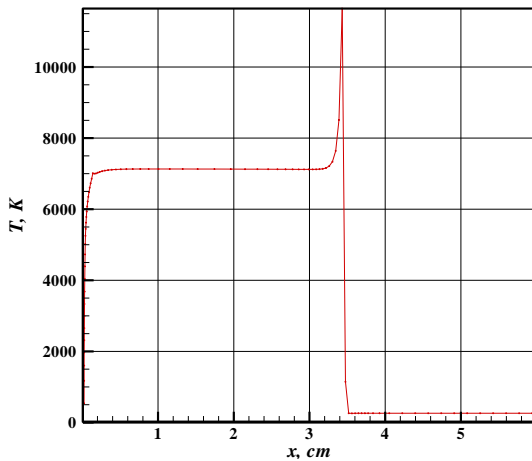


Рис.3. Распределение температуры вдоль критической линии тока, K

Результаты решения задачи расчета переноса теплового излучения в сжатом слое показаны на рис. 5–7. Спектральные оптические свойства вычислялись с использованием кода ASTEROID. Первая серия расчетов проведена без учета атомных линий, а вторая – с учетом (рис. 5). Способ расчета параметров атомных линий и их номенклатура приведены в [20].

На рис. 6 показаны результаты расчетов радиационного нагрева критической точки при тех же самых условиях полета. Расчеты выполнены с использованием модели Парка [8] и модели неравновесной диссоциации Тринора – Мэрроуна. На рис. 7 показаны распределения кумулятивных функций спектральных радиационных тепловых потоков к поверхности.

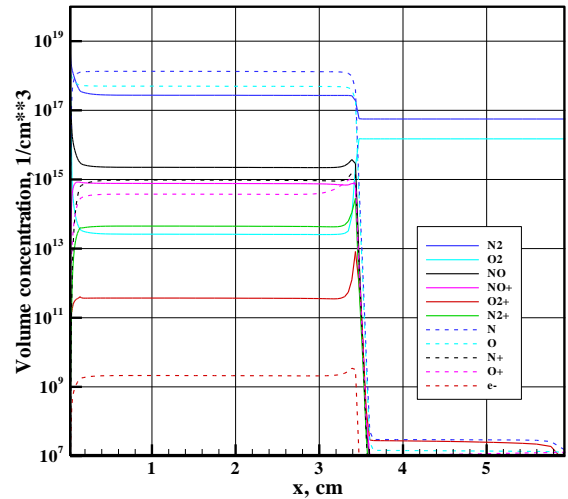


Рис. 4. Распределение числовых концентраций частиц вдоль критической линии тока,  $1/cm^3$

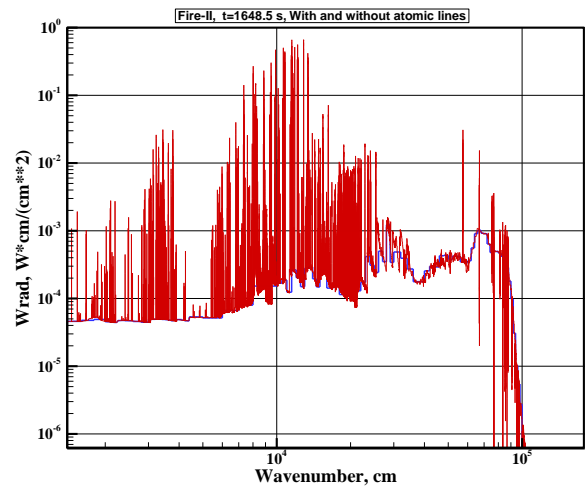


Рис. 5. Плотность спектрального радиационного теплового потока в критической точке с учетом и без учета атомных линий (толстая синяя жирная кривая),  $W*cm/(cm^2)$

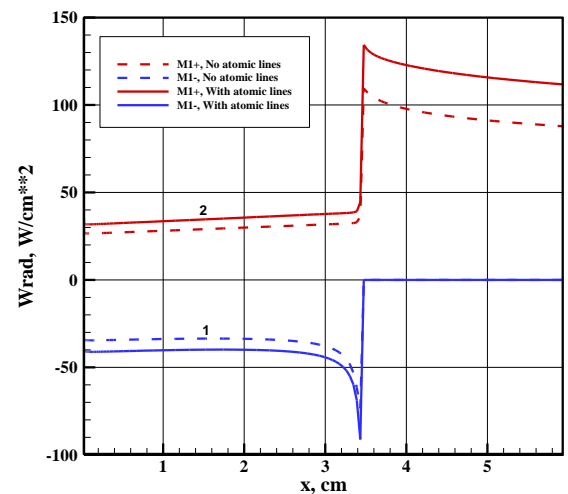


Рис. 6. Распределение односторонних интегральных радиационных тепловых потоков к поверхности тела (1) и от поверхности тела (2); штриховые кривые – без учета атомных линий, сплошные кривые – с учетом атомных линий.

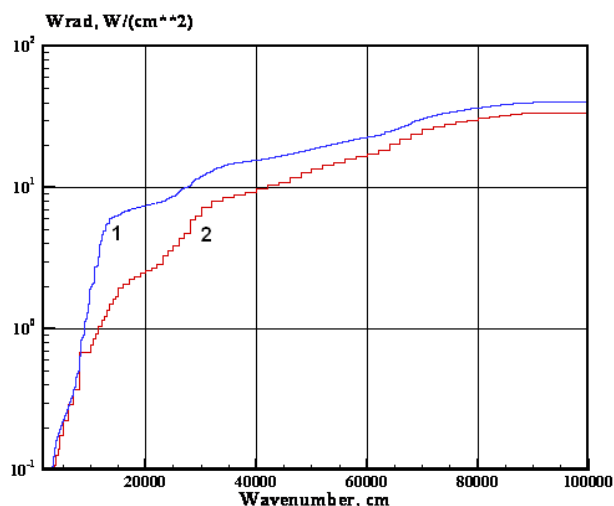


Рис. 7. Кумулятивная функция спектрального распределения радиационных тепловых потоков в критической точке с учетом (1) и без учета (2) атомных линий

## ЗАКЛЮЧЕНИЕ

Следует заметить, что рекомендуемые рабочей группой ЕКА исходные данные для расчета радиационных тепловых потоков в траекторной точке  $t = 1648.5$  с нуждаются в пересмотре, поскольку в них нарушены условия квазинейтральности в сжатом слое (см. рис.4).

В данной работе для проведения тестовых расчетов рекомендуются три расчетные точки, параметры траектории в которых даны в табл. 1. Первая точка характеризуется высокой степенью неравновесности, вторая точка соответствует участку наибольшего нагрева, а третья точка, как было указано ранее, соответствует квазиравновесному режиму течения.

Работа выполнена в рамках Программы фундаментальных исследований РАН.

## СПИСОК ЛИТЕРАТУРЫ

1. Cornette, E.S., "Forebody Temperatures and Calorimeter Heating Rates Measured During Project Fire II Reentry at 11.5 Kilometers per Second," 1966. NASA TM-X-1305.
2. Cauchon D.L., "Radiative Heating Results From the Fire II Flight Experiment at a Reentry velocity of 11.4 km/s," 1967. NASA TM-X-1402.
3. Sutton, K., "Air Radiation Revisited," AIAA Paper 84-1733, 1984.
4. Balakrishnan, A., Park, C., and Green, M.J., "Radiative Viscous-Shock Layer Analysis of Fire, Apollo, and PAET Flight Data," AIAA Paper 85-1064, 1985.
5. Gupta, R.N., "Navier-Stokes and Viscous Shock-Layer Solutions for Radiating Hypersonic Flows," AIAA Paper 87-1576, 1987.
6. Bird, G.A., "Nonequilibrium Radiation During Re-Entry at 10 km/s," AIAA Paper 87-1543, 1987.
7. Carlson, L.A., "Approximations for Hypervelocity Nonequilibrium Radiating, Reacting, and Conducting Stagnation Regions," Journal of Thermophysics and Heat Transfer, Vol.3, No.4, 1989, Pp.380-388.
8. Park, C., "Assessment of Two Temperature Kinetic Model for Ionizing Air," Journal of Thermophysics and Heat Transfer, Vol.3, No.3, July 1989, Pp.233-244.
9. Gally, T.A., "Development of Engineering Methods for Nonequilibrium Radiative Phenomena about Aeroassisted Entry Vehicles, Ph.D. Dissertation, Texas A&M Univ., College Station, TX, 1992.
10. Greendyke, R.B., and Hartung, L.C., "Convective and Radiative Heat Transfer Analysis for the Fire II Forebody," Journal of Spacecraft and Rockets, Vol.31, No.6, 1994, Pp.986-992.
11. Olynick, D.R., Henline, W.D., Chambers, L.H., and Candler, G.V., "Comparisons of Coupled Radiative Navier-Stokes Flow Solutions with the Project Fire II Flight Data," AIAA Paper 94-1955, 1994.
12. Park, C., "Stagnation Point Radiation for Apollo 4," Journal of Thermophysics and Heat Transfer, Vol.18, No.3, 2004, Pp.349-357.
13. Johnston C.O., Hollis B.R., Sutton K. "Nonequilibrium Stagnation-Line Radiative Heating for Fire-II," JSR, Vol. 45, No.6, 2008, Pp.1185-1195.
14. Surzhikov S.T., Shang J.S., "Numerical Rebuilding of Fire-II Flight Data With the Use of Different Physical-Chemical Kinetics and Radiation Models", AIAA-2013-0190, 51<sup>st</sup> Aerospace Sciences Meeting including the New Horizons Forum and Aerospace Exposition 07-10 January 2013. Grapevine (Dallas/ Ft. Worth Region), Texas, USA. 19 p.
15. Суржиков С.Т. Анализ моделей ионизационной кинетики при гиперзвуковом обтекании цилиндра // Журнал химической физики. 2010. Т.29. №7. С.48-62.
16. Суржиков С.Т. Плотность радиационных тепловых потоков к наветренной поверхности марсианского космического аппарата в тестовой задаче № 3 рабочей группы по излучению высокотемпературных смесей газов ЕКА // См. статью в сборнике АФМ-6, изд-во ИПМех РАН, 2014 г.
17. Surzhikov S.T., "Non-Equilibrium Radiative Gas Dynamics of ORION Space Vehicle", AIAA-13-0231, 51<sup>st</sup> Aerospace Sciences Meeting including the New Horizons Forum and Aerospace Exposition 07-10 January 2013. Grapevine (Dallas/ Ft. Worth Region), Texas, USA. 30 p. DOI: 10.2514/6.2013-66
18. Djadkin A., Beloshitsky A., Shuvalov M., Surzhikov S., "Uncertainties in Heating Predictions of Segmental-Conical Space Vehicle Resulting From Data on Chemical and Physical Kinetics", AIAA-2013-1056, 51<sup>st</sup> Aerospace Sciences Meeting including the New Horizons Forum and Aerospace Exposition 07-10 January 2013. Grapevine (Dallas/ Ft. Worth Region), Texas, USA. 43 p. DOI: 10.2514/6.2013-1056
19. Surzhikov S.T., Shang J.S. Coupled Radiation-Gasdynamic Model for Stardust Earth Entry Simulation // Journal of Spacecraft and Rockets. 2012. Vol. 49. No.5. Pp.875-888. Surzhikov S.T. Data Base of Atomic Lines for Radiative Gas Dynamic Models // AIAA Paper № 02-2898. 2002. 46 p.
21. Кузенов В.В. Использование регулярных адаптивных сеток для анализа импульсных сверхзвуковых струй плазмы // Физико-химическая кинетика в газовой динамике. 2008. Т.7. <http://www.chemphys.edu.ru/pdf/2008-09-01-016.pdf>
22. Котов М.А., Кузенов В.В. Создание сложных поверхностей гиперзвуковых летательных аппаратов системами САПР // Физико-химическая кинетика в газовой динамике. 2010. Т.9. <http://www.chemphys.edu.ru/pdf/2010-01-12-039.pdf>